

**ТЕМПЕРАТУРНАЯ ЗАВИСИМОСТЬ
ПОГЛОЩЕНИЯ ИЗЛУЧЕНИЯ
МИЛЛИМЕТРОВОГО ДИАПАЗОНА *n*-ГЕРМАНИЕМ**

Шеховцов Н. А.

Экспериментально исследована зависимость поглощения излучения диапазона частот 54—78 ГГц *n*-германием от тока инжекции $p^+ - n$, $n^+ - n$ -переходов и температуры. Показано, что эти зависимости у германия с собственной проводимостью аномальные, а у германия с проводимостью, близкой к собственной, изменяются с нормальной на аномальную. Полагается, что аномальный характер этих зависимостей обусловлен изменением поглощения излучения поверхностным потенциальным барьером германия при увеличении концентрации пар электрон—дырка в объеме.

В [1, 2] у германиевых модуляторов мощности излучения на зависимости поглощения излучения от тока инжекции наблюдался максимум. В связи с этим исследовано поглощение излучения диапазона частот 54—78 ГГц *n*-германием с различной величиной проводимости, близкой к собственной. Различные значения равновесной проводимости *n*-германия обеспечивались разной концентрацией донорной примеси в исходном германии, а изменение его проводимости осуществлялось как инжецией $p^+ - n$, $n^+ - n$ -переходов, так и увеличением температуры.

Исследования показали, что характер зависимости поглощения излучения германием от концентрации пар электрон—дырка определяется величиной его равновесной проводимости и диапазоном частот излучения. Обнаружено три вида этой зависимости. У одной зависимости с ростом концентрации пар электрон—дырка поглощение излучения германием уменьшается, асимптотически приближаясь к величине, определяемой размерами кристалла. У другой зависимости с ростом концентрации пар электрон—дырка поглощение излучения германием вначале уменьшается, а затем увеличивается, проходя через минимум, величина которого определяется также размерами кристалла. У третьей зависимости с ростом концентрации пар электрон—дырка поглощение излучения увеличивается, асимптотически приближаясь к величине, определяемой размерами кристалла.

Первый вид зависимости поглощения излучения от концентрации пар электрон—дырка наблюдается у германия с почти собственной проводимостью. При увеличении концентрации доноров в германии проявляется вначале второй, а затем третий вид зависимости поглощения излучения от концентрации пар электрон—дырка. У *n*-германия с проводимостью, близкой к собственной, при увеличении частоты от 54 до 78 ГГц зависимость поглощения излучения от концентрации пар электрон—дырка изменяет свой вид с первого на второй.

Эти закономерности поглощения электромагнитного излучения *n*-германием были получены при исследовании поглощения излучения германием с удельным сопротивлением 52, 35 и 10 Ом·см. Из монокристалла вырезались пластинки, которые после травления в СР-4 имели размеры $5.2 \times 2.6 \times 0.5$ мм. Переходы $p^+ - n$ и $n^+ - n$ в виде полосок с размерами 0.3×5.2 мм, расположенных на одной поверхности пластинки на расстоянии друг от друга около 1 мм, получались вплавлением сплавов In (92.7 %) + Ga (0.3 %) + Au (7 %) и Sn (97 %) + Sb (3 %) в атмосфере водорода. Одновременно с вплавлением сплавы припывались

к никелевым проволокам диаметром 0.15 мм, которые служили выводами от p^+ - и n^+ -областей. После травления в 3%-ном растворе H_2O_2 , промывки и сушки $p^+—n—n^+$ -диоды и никелевые проволоки покрывались тонким слоем защитного лака.

Такие $p^+—n—n^+$ -диоды помещались в отрезок волновода с размерами попечерного сечения 3.6×1.8 мм плоскостью n -области 5.2×2.6 мм на одну из широких стенок волновода с равным удалением от узких стенок. На фланце волновода перпендикулярно широким стенкам прорезались две канавки шириной и глубиной около 0.4 мм так, что у каждой из них одна стенка являлась продолжением плоскости одной из узких стенок волновода. В эти канавки укладывались изолированные выводы от p^+ - и n^+ -областей. Расположение канавок в минимумах электрического поля волны практически предотвращает выход излучения из волновода в свободное пространство. Помещенный таким образом

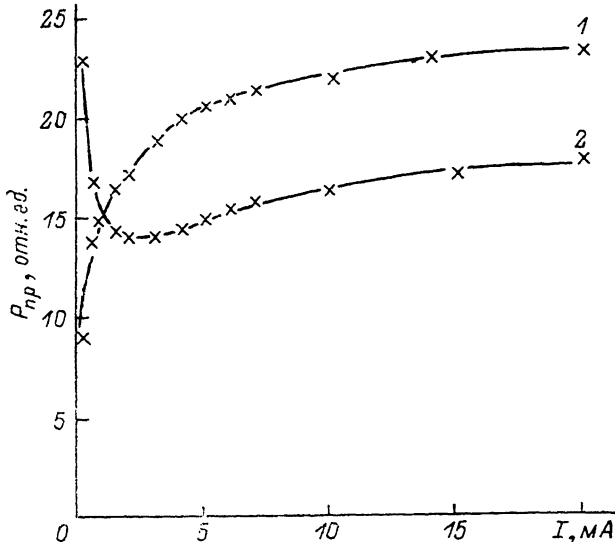


Рис. 1. Зависимости $P_{np} = F(I)$ при $P_0 = 86$ отн. ед. германиевого $p^+—n—n^+$ -модулятора на частотах излучения, ГГц: 1 — 69, 2 — 76.
 n -область с $52 \Omega\cdot\text{см}$ и размерами $5.2 \times 2.6 \times 0.5$ мм.

$p^+—n—n^+$ -диод в отрезок волновода представлял собой модулятор мощности электромагнитного излучения. Концентрацию пар электрон — дырка в n -области модулятора можно было изменять током инжекции I или температурой отрезка волновода T . Источником излучения был генератор Г4-142. Контроль мощности излучения, падающей на модулятор P_0 и отраженной от модулятора $P_{\text{отр}}$, осуществлялся с помощью направленных ответвителей, нагруженных на детекторы Д407. Мощность излучения, прошедшего через отрезок волновода с модулятором $P_{\text{пр}}$, контролировалась детектором Д407, который служил нагрузкой волноводного тракта. Между этим детектором и ответвителем отраженного излучения находился согласователь. Все три детектора имели близкие вольт-ваттные характеристики. Мощность излучения генератора P_0 выбиралась такой, которая обеспечивала близкую к линейной зависимость напряжения на детекторах от мощности излучения. При этом напряжения на детекторах были пропорциональны мощностям излучений P_0 , $P_{\text{отр}}$ и $P_{\text{пр}}$.

На рис. 1 показаны зависимости $P_{\text{пр}} = F(I)$ при $P_0 = \text{const}$ германиевого $p^+—n—n^+$ -модулятора с удельным сопротивлением n -области $52 \Omega\cdot\text{см}$ для частот излучения 69 и 76 ГГц. На 69 ГГц отражение излучения не удавалось наблюдать. На 76 ГГц отражение излучения значительно увеличивалось. Однако величина отраженной мощности излучения при увеличении тока инжекции I от 0 до 20 мА практически не изменялась. Отсюда следует, что характер

зависимостей $P_{\text{пп}}=F(I)$ обусловлен процессом поглощения электромагнитного излучения n -областью.

С увеличением тока инжекции концентрация пар электрон—дырка в n -области увеличивается. Следовательно, на 69 ГГц с ростом концентрации пар электрон—дырка поглощение излучения n -областью уменьшается, т. е. зависимость поглощения от концентрации пар электрон—дырка аномальная. Аномальный характер этой зависимости наблюдается в диапазоне частот 54—70 ГГц. На 76 ГГц с ростом концентрации пар электрон—дырка поглощение излучения n -областью, сначала увеличиваясь, достигает максимума, а затем уменьшается, т. е. зависимость поглощения от концентрации пар электрон—дырка изменяется с нормальной на аномальную. Изменение этой зависимости с нормальной на аномальную наблюдается в диапазоне частот 71—78 ГГц. Причем с увеличением частоты излучения поглощению при $I=0$ уменьшается.

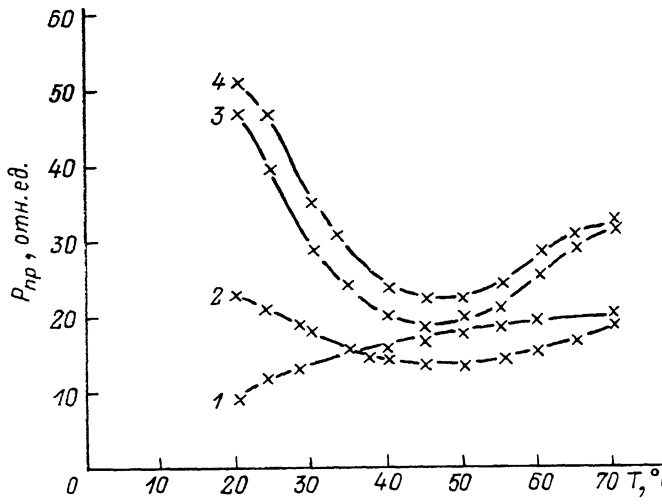


Рис. 2. Зависимости $P_{\text{пп}}=F(T)$ при $P_0=86$ отн. ед.

1, 2 — германиевой области с $52 \Omega \cdot \text{см}$ $p^+—n—n^+$ -модулятора и 3, 4 — германиевой пластины с $35 \Omega \cdot \text{см}$ с размерами $5.2 \times 2.6 \times 0.5$ мм на частотах излучения, ГГц: 1, 3 — 69, 2, 4 — 76.

У германиевых $p^+—n—n^+$ -модуляторов с удельным сопротивлением n -области $35 \Omega \cdot \text{см}$ зависимость $P_{\text{пп}}=F(I)$ в диапазоне частот 54—78 ГГц изменяется с нормальной на аномальную. У германиевых $p^+—n—n^+$ -модуляторов с удельным сопротивлением n -области $10 \Omega \cdot \text{см}$ с ростом тока I от 0 до 20 мА мощность $P_{\text{пп}}$ уменьшается, асимптотически приближаясь к определенному значению.

Чтобы исключить влияние электрического поля $p^+—n—n^+$ -модулятора на поглощение излучения n -областью, исследовалась зависимость поглощения излучения n -областью от температуры. На рис. 2 показаны зависимости $P_{\text{пп}}=F(T)$ при $P_0=\text{const}$ для частот излучения 69 и 76 ГГц. Мощность отраженного излучения $P_{\text{отр}}$ практически не изменялась в указанном интервале температур T . Поэтому характер зависимостей $P_{\text{пп}}=F(T)$ при $P_0=\text{const}$ и $f=\text{const}$ обусловлен процессом поглощения излучения n -германием. При увеличении температуры $p^+—n—n^+$ -структур (также, как и при увеличении тока инжекции) рост концентрации пар электрон—дырка приводит к уменьшению поглощения излучения частотой 69 ГГц и вначале к увеличению, а затем к уменьшению поглощения излучения частотой 76 ГГц. Зависимость $P_{\text{пп}}=F(T)$ аномальная в диапазоне частот 54—70 ГГц и изменяется с нормальной на аномальную в диапазоне частот 71—78 ГГц. Таким образом, аномальная зависимость поглощения излучения n -германием от концентрации пар электрон—дырка проявляется независимо от постоянного электрического поля.

У пластинки n -германия с удельным сопротивлением $35 \Omega \cdot \text{см}$ и такими же размерами, как у $p^+—n—n^+$ -модулятора, зависимость $P_{\text{пп}}=F(T)$ в диапазоне

частот 54—78 ГГц характеризуется наличием минимума. На рис. 2 показаны зависимости $P_{\text{пп}}=F(T)$ для излучения с частотой 69 и 76 ГГц. Зависимости $P_{\text{оп}}=F(T)$ на этих частотах практически такие же, как у p^+-n-n^+ -модулятора. Таким образом, у n -германия с 35 Ом·см зависимость $P_{\text{пп}}=F(T)$ изменяется с нормальной на аномальную.

Характер зависимостей $P_{\text{пп}}=F(I)$ и $P_{\text{пп}}=F(T)$ при $P_0=\text{const}$ не изменялся с изменением P_0 в широких пределах.

В этих экспериментах зависимости $P_{\text{пп}}=F(I)$ и $P_{\text{пп}}=F(T)$ измерялись в условиях частичного заполнения поперечного сечения волновода n -германием.

Измерения поглощения излучения диапазона частот 54—78 ГГц n -германием при почти полном заполнении им поперечного сечения волновода позволили установить различие условий проявления нормальной и аномальной темпера-

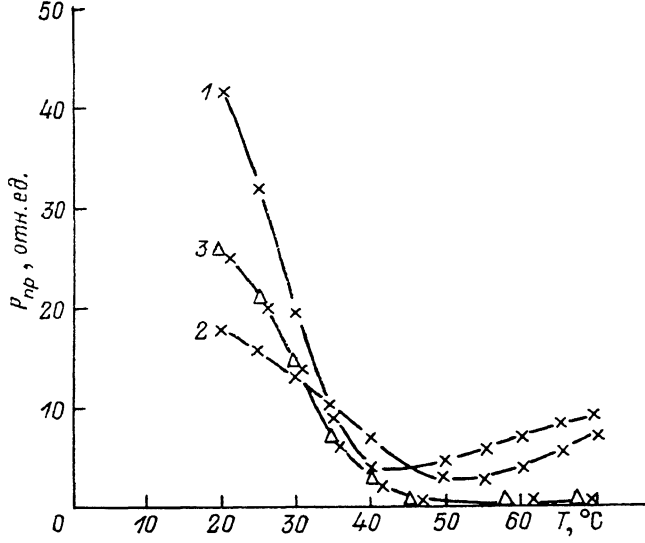


Рис. 3. Зависимости $P_{\text{пп}}=F(T)$ при $P_0=86$ отн. ед. кристалла германия с 35 Ом·см и размерами $1.4 \times 1.75 \times 3.5$ мм при нахождении в плоскости поперечного сечения волновода.

1, 2 — плоскости кристалла 1.4×3.5 мм, 3 — плоскости кристалла 1.75×3.5 мм и образование прижимных контактов плоскостями 1.4×3.5 мм с широкими стенками волновода на частотах излучения, ГГц
1, 3 — 69 и 2, 3 — 76.

турных зависимостей поглощения излучения. Для этого использовался кристалл германия с удельным сопротивлением 35 Ом·см, который после травления в СР-4 имел размеры $1.4 \times 1.75 \times 3.5$ мм. Зависимости $P_{\text{пп}}=F(T)$ и $P_{\text{оп}}=F(T)$ кристалла германия при $P_0=\text{const}$ измерялись при наличии электрических контактов кристалла с одной и с обеими широкими стенками волновода. В первом случае плоскость кристалла 1.4×3.5 мм располагалась в плоскости поперечного сечения волновода, и прижимной контакт получался за счет давления кристалла на стенку волновода. Во втором случае в плоскости поперечного сечения волновода находилась плоскость кристалла 1.75×3.5 мм, а прижимные контакты получались за счет прокладки между кристаллом и широкой стенкой волновода медной фольги толщиной 50 мкм. В обоих случаях кристалл не касался узких стенок волновода. Такое различие условий поглощения излучения кристаллом германия обеспечивало разный характер зависимостей $P_{\text{пп}}=F(T)$. В первом случае зависимость $P_{\text{пп}}=F(T)$ изменялась с нормальной на аномальную во всем диапазоне частот. На рис. 3 показаны зависимости $P_{\text{пп}}=F(T)$ для частот излучения 69 и 76 ГГц. Отражение излучения от кристалла на 69 ГГц было незначительным, а на 76 ГГц значительно увеличивалось, но практически не изменялось с ростом температуры. Таким образом, с ростом концентрации пар электрон—дырка поглощение излучения кристаллом германия вначале увеличивается, достигая максимума, а затем уменьшается. Во втором случае

зависимость $P_{\text{пп}}=F(T)$ характеризуется непрерывным уменьшением $P_{\text{пп}}$ с ростом T (рис. 3). При $P_0=\text{const}$ и $T=\text{const}$ $P_{\text{пп}}$ очень слабо зависит от частоты излучения при изменении ее от 54 до 78 ГГц. Зависимость $P_{\text{отп}}=F(T)$ на частотах 69 и 76 ГГц была такой же, как и в первом случае. Таким образом, с ростом концентрации пар электрон—дырка поглощение излучения кристаллом германия непрерывно увеличивается.

Различный характер зависимостей $P_{\text{пп}}=F(T)$ при наличии контактов кристалла с одной и с обеими широкими стенками волновода обусловлен различным состоянием токовой цепи кристалла. Токовая цепь кристалла германия в первом случае разомкнута, а во втором случае замкнута. Это создает различные условия для взаимодействия излучения с поверхностным потенциальным барьером кристалла германия. При разомкнутой токовой цепи кристалла воздействие электрического поля волны на поверхностный потенциальный барьер германия [3] не может изменить концентрацию пар электрон—дырка, так как невозможно установление квазинейтральности в объеме кристалла. Это исключает проявление диффузационной дифференциальной емкости. Зарядная дифференциальная емкость поверхностного потенциального барьера изменяется с изменением его величины. При малой величине зарядной емкости эффективное взаимодействие электрического поля волны с поверхностным потенциальным барьером приведет к поглощению им излучения в процессе детектирования. Поэтому можно предположить, что аномальный характер зависимостей $P_{\text{пп}}=F(I)$ и $P_{\text{пп}}=F(T)$ обусловлен зависимостью зарядной емкости поверхностного потенциального барьера от концентрации свободных носителей заряда в объеме германия.

Список литературы

- [1] Бабенко С. П., Герштейн Е. М. // Полупроводниковые приборы и их применение Под ред. Я. А. Федотова. В. 10. М., 1963. С. 404—410.
- [2] Шеховцов Н. А., Вязьмитинов И. А., Петрушин А. А. // ДАН УССР. Сер. А. Физ.-мат. и техн. науки. 1987. № 6. С. 55—57.
- [3] Пикус Г. Е. // Физика поверхности полупроводников / Под ред. Г. Е. Пикуса. М., 1959. С. 5—59.

Харьковский государственный
университет им. А. М. Горького

Получена 11.03.1990
Принята к печати 9.04.1991